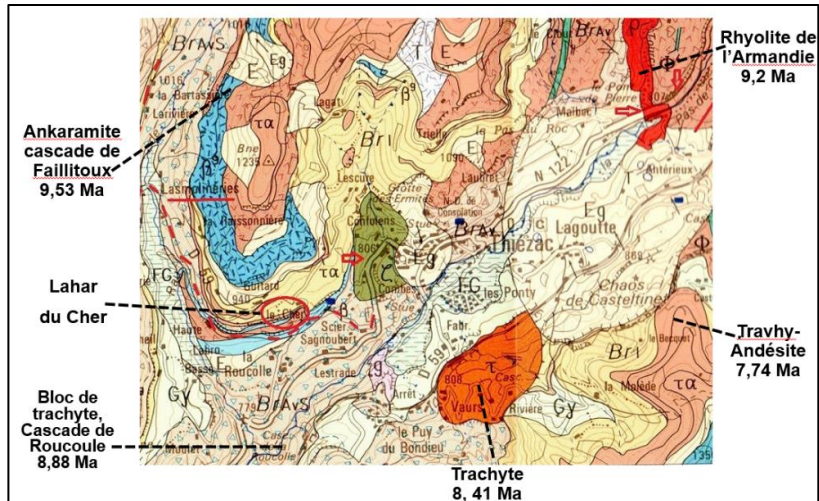


Minéraux										Série	Nature
Si	F.A	PI	Foï	OI	Срх	Орх	Amp	Bt	M.A.	Serie	Nature
-	-	An+	х	-	х	-	-	-	-	SPA	Тр
-	-	An+	-	-	х	-	?	х	-	SA	Mu

- **Remarque préliminaire** : à rapprocher de la lame **11845** prélevée sur le Notice/carte BRGM n° 788 Murat au 1/50000 même site. Les deux lignes du tableau des minéraux ci-dessus correspondent aux deux types de fragments observés dans cette brèche, type a = téphrite, type b=mugéarite (trachyandésite).
- Lieu de prélèvement : prélèvement dans la tuffite cendro-ponceuse du Cher, Vallée de la Cère ; voir ellipse rouge marquée « Lahar du Cher ».

• **Roche massive :** brèche vacuolaire cendro-ponceuse. La brèche résulte d'un remaniement dans un courant laharique, avec action vigoureuse et lessivage par l'eau. La matrice cendreuse représente plus de 60% du volume. Les fragments blanc crème sont des argiles (environ 5% du volume).

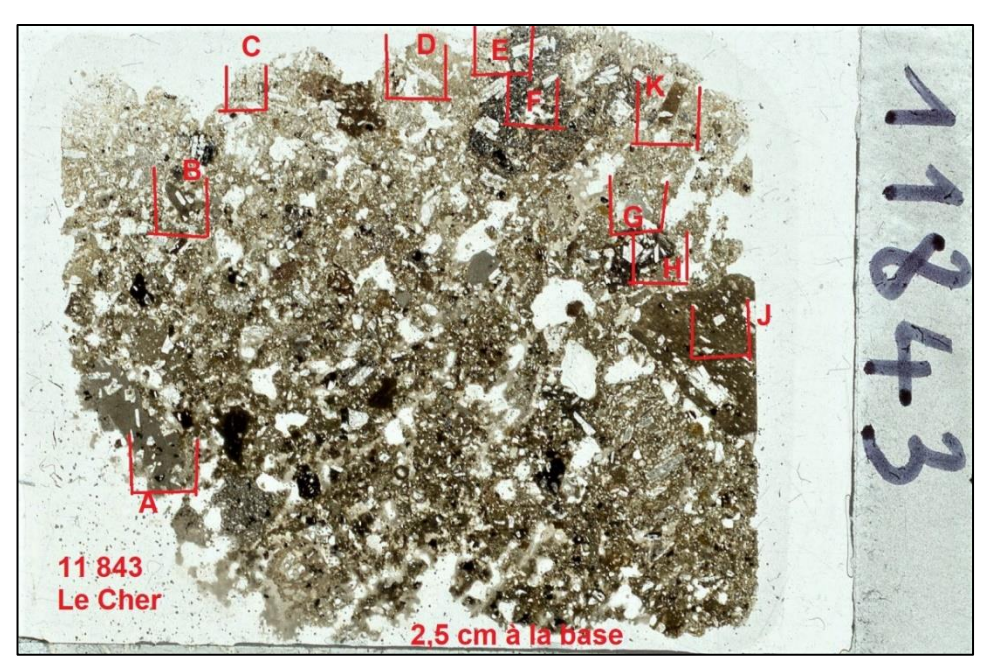


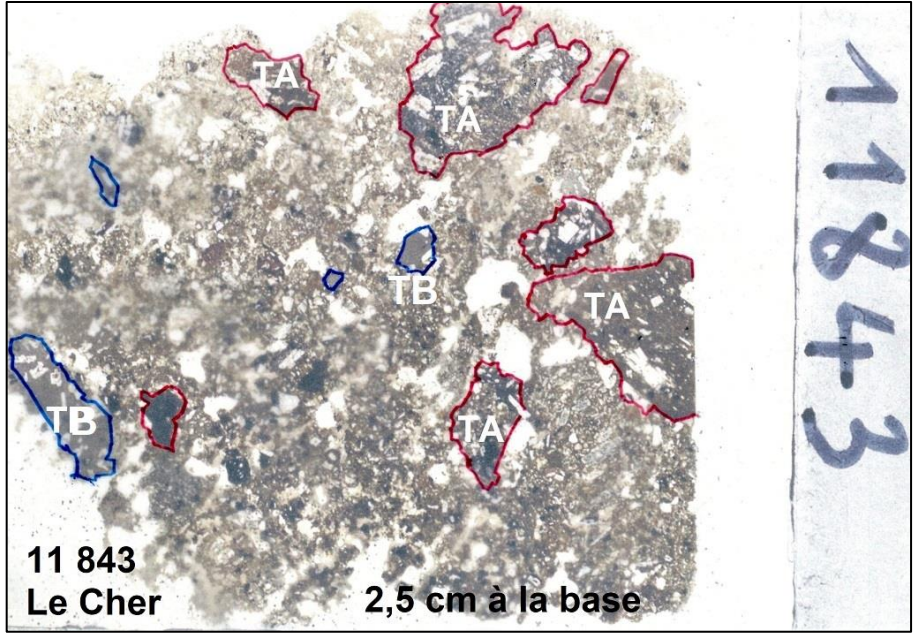


Symboles : $\mathbf{T}$  = trachyte,  $\mathbf{T}$   $\alpha$  = trachy-andésite,  $\mathbf{\Phi}$  = phonolite,  $\mathbf{\beta}^9$  = ankaramite,  $\mathbf{\rho}$  = rhyolite,  $\mathbf{BrI}$  = brèche de coulée de débris et de lahar,  $\mathbf{BrAvS}$  = brèche d'avalanche de débris



#### Scan LPNA





• **Structure**: le cliché de droite montre une brèche avec de petits fragments laviques de taille inférieure ou égale au cm, généralement millimétriques, qu'on peut classer en deux types, a et b, suivant la composition modale. Les fragments de téphrite sont gris clair finement microlitiques et porphyriques. Ils sont entourés de rouge et marqués TA (type a). Les fragments de trachyandésite, porphyriques et à mésostase plus sombre, sont entourés de bleu et marqués TB (type b). Ces fragments sont inclus dans une matrice cendreuse (60% du volume) parsemée de fragments d'argile blanc crème (environ 5% du volume) et de phénocristaux.



- Polarisation chromatique Etude des fragments de type a (téphrite)
  - Phénocristaux :
    - Plagioclases : beaux plagioclases en lattes entières à voir en Rep A et Rep B.
    - Feldspathoïdes : en Rep A, petits hexagones de haüyne ou de noséane ou d'un autre feldspathoïde. Non biréfringents. Brunâtres à raies fines. Bordure épaisse.
    - Ferromagnésiens: ils sont de manière générale trop altérés pour être discernables sauf en Rep G
      où l'on distingue un clinopyroxène jaune d'or.
  - Mésostase : gris clair et à microlites ultrafins comme le montrent Rep A, Rep B et Rep G.
- Polarisation chromatique Etude des fragments de type b (trachyandésite)
  - Phénocristaux :
    - Plagioclases: grand plagioclase de 3 mm en Rep J, euhédral zoné, multiplement maclé, à fines lignes de zonage. Réseau orthogonal de clivages bien net. Gros plagioclases aussi observables en Rep H. En Rep K, assemblage de lattes de plagioclase euhedral, intactes, dans un fragment de type b, baignant dans la matrice de décomposition des feldspaths (argile).
    - **Biotites** euhédral en section transvrse de plaquette en **Rep H**, pléochroïsme d'orange à rouge sombre.
    - Clinopyroxènes: en Rep E, deux reliques de clinopyroxène dans le grand fragment centimétrique de trachyandésite type b. Formes euhédral. Bordure et intérieur jaune or, mais pas de pléochroïsme. Teintes de Newton jusqu'au vert du second ordre. En Rep K, vestiges de microlites de clinopyroxène très altérés



- Mésostase : en Rep F, on observe une mésostase avec des microlites de plagioclase à queue d'aronde, jusqu'à 0,2 mm de longueur, ainsi que des microlites de clinopyroxène. En Rep J, la fluidalité est légèrement marquée, la mésostase est très sombre et vitreuse, avec de nombreux microlites de clinopyroxène complètement altérés.
- Polarisation chromatique Phénocristaux libres dans la matrice cendreuse
  - Phénocristaux :

**Dominique Rossier** 

• Plagioclases: lattes de plagioclase libres dans la matrice, avec altération en ilôts, par lessivage des alcalins, comme le processus commun de kaolinisation dans les feldspaths alcalins: les minéraux néoformés dans les ilôts sont ultramicroscopiques et la destruction/dissolution du réseau donne une texture nébuleuse et trouble, parsemée de bulles. Le lessivage s'opère depuis la matrice dans laquelle baignent les fragments laviques, jamais à l'intérieur d'un fragment (type a ou type b) dans lequel les plagioclases sont protégés comme le montrent les clichés de Rep H ou J. Les plagioclases ont des angles de Michel-Lévy entre 23 et 30°.

Ilôts d'altération par lessivage des alcalins, au cœur d'un plagioclase dans la matrice cendreuse.

**LPNA**, **Repère D**. Echelle 0,6 mm à la base.





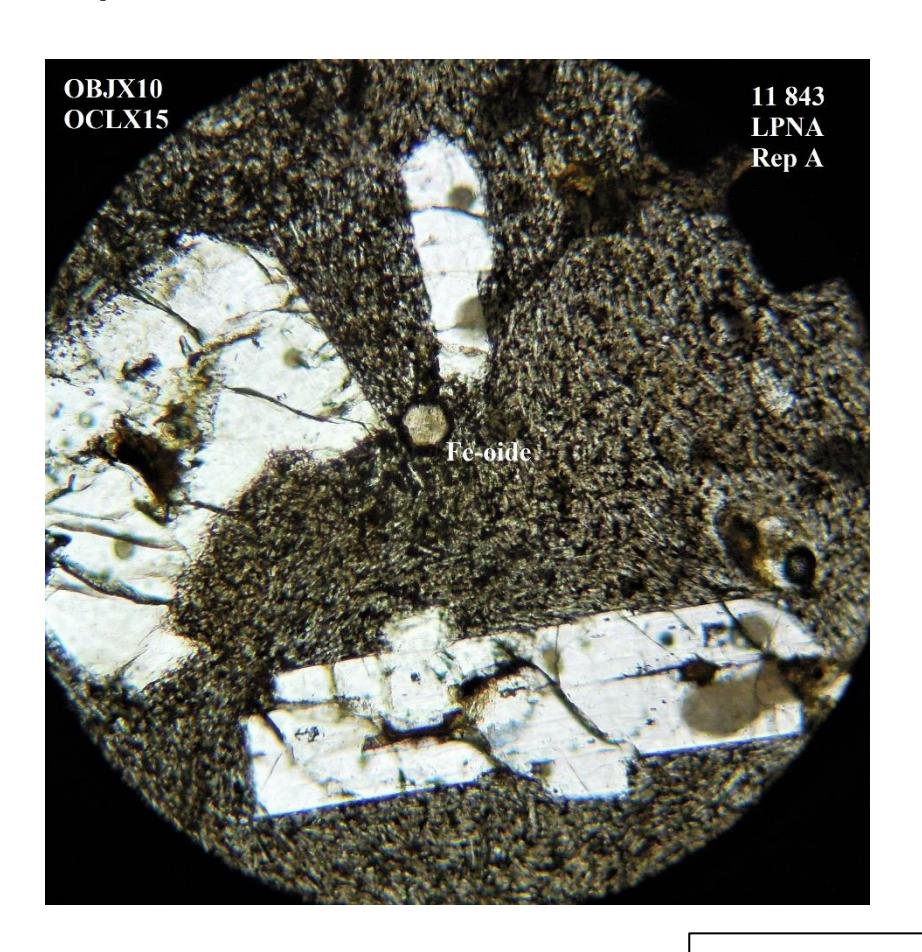
 Amphiboles: en Rep C, fragment de hornblende basaltique, pléochroïque dans le brun pâle à brun. Teinte de Newton dans le vert du second ordre. Angle d'extinction faible, de quelques degrés.

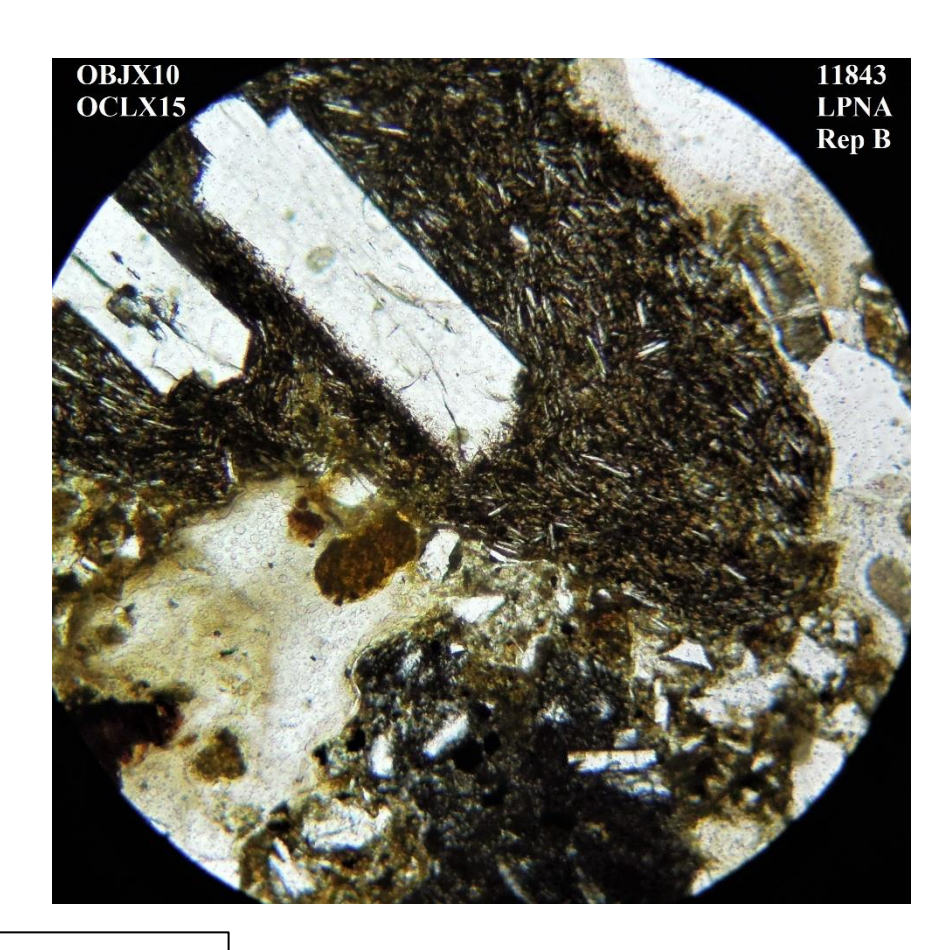
• **Détermination**: il s'agit d'une brèche polygénique, à matrice cendreuse dominante. De nombreux clastes de plagioclase et de pyroxène sont mélangés à la matrice cendreuse, ainsi que plus rarement de la hornblende basaltique. Les fragments d'argile représentent environ 5% du volume. Les clastes subcentimétriques laviques sont majoritairement de la trachyandésite, dont les ferromagnésiens (clinopyroxène et hornblende) sont altérés. Exception pour une biotite. Les trachyandésites sont microlitiques et porphyriques (plagioclase). Quelques clastes de téphrite (ou ordanchite), avec feldspathoïde du type **Haüyne** ou groupe de la **sodalite**.



**Rep A LPNA :** claste « type a », gris clair finement microlitique et porphyrique. La mésostase est à microlites ultrafins. Beaux **plagioclases** en lattes entières. Petits hexagones de **haüyne** ou de **noséane** ou d'un autre **feldspathoïde**. Non biréfringents. Brunâtres à raies fines. Bordure épaisse. Les **ferromagnésiens** sont trop altérés pour être discernables.

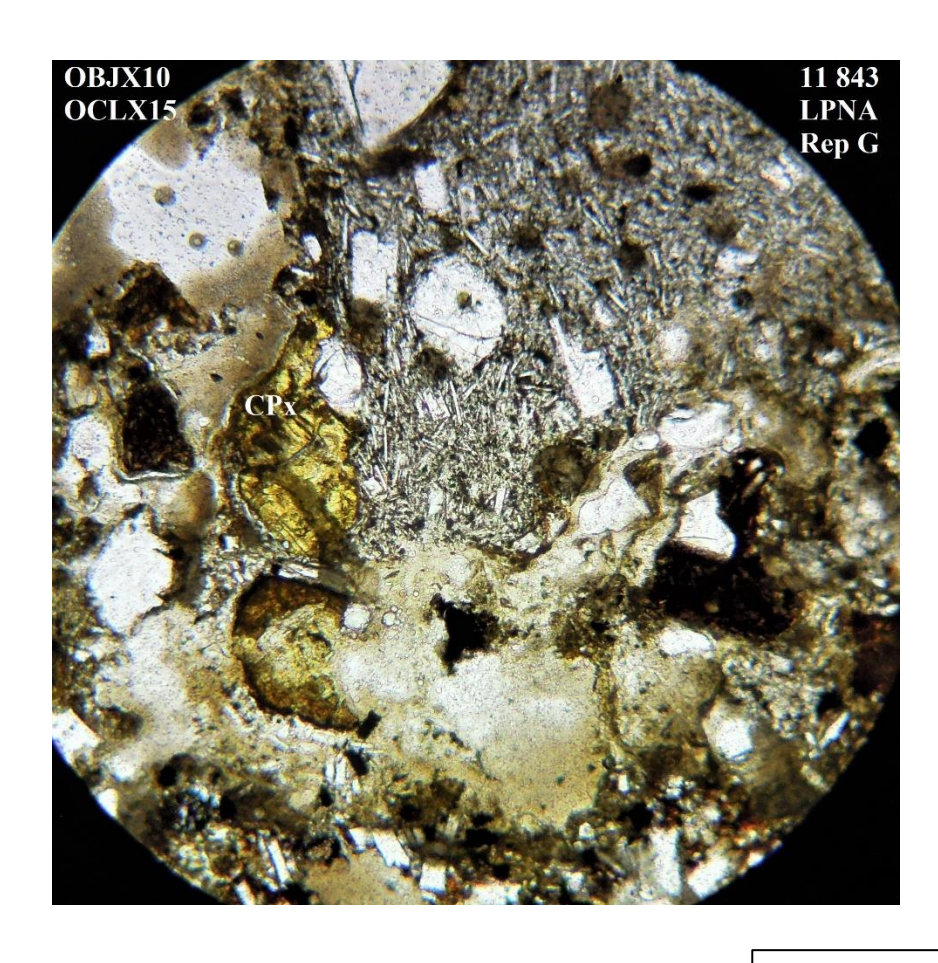
Rep B LPNA: claste « type a », mais un peu plus sombre que Rep A, finement microlitique/ porphyrique

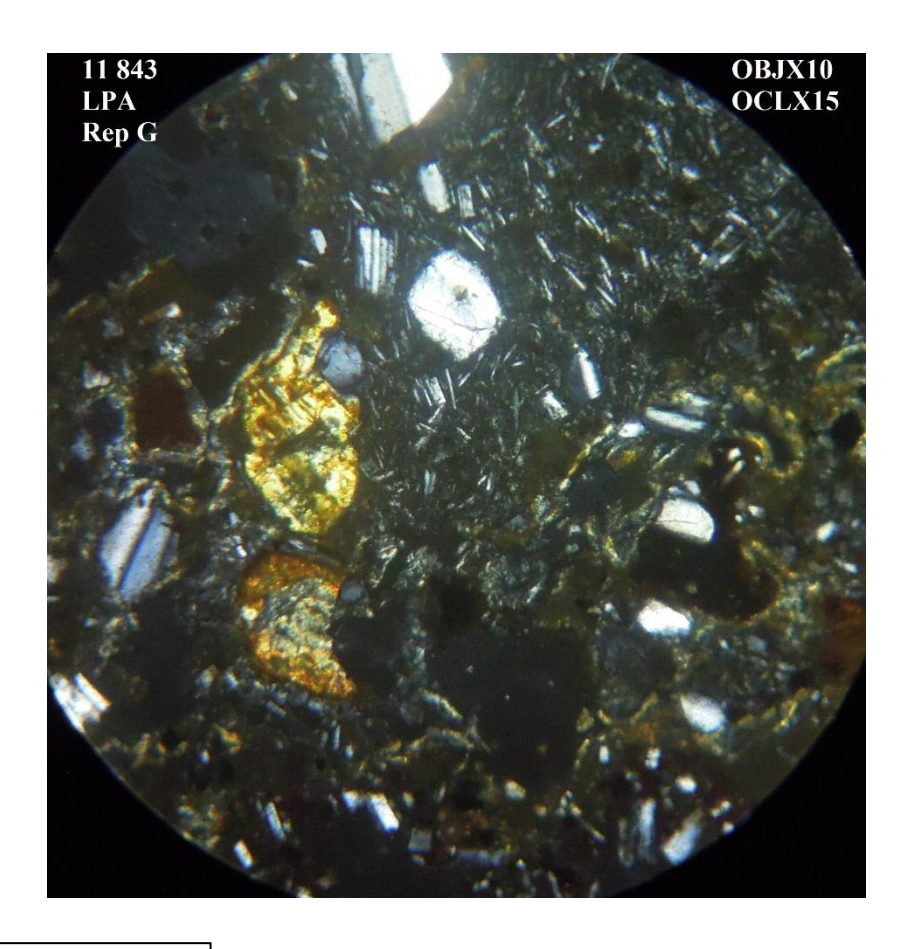






**Rep G LPNA et LPA**: fragment « type a » : gris clair finement microlitique et porphyrique. Petits clinopyroxènes (Cpx) jaune d'or.

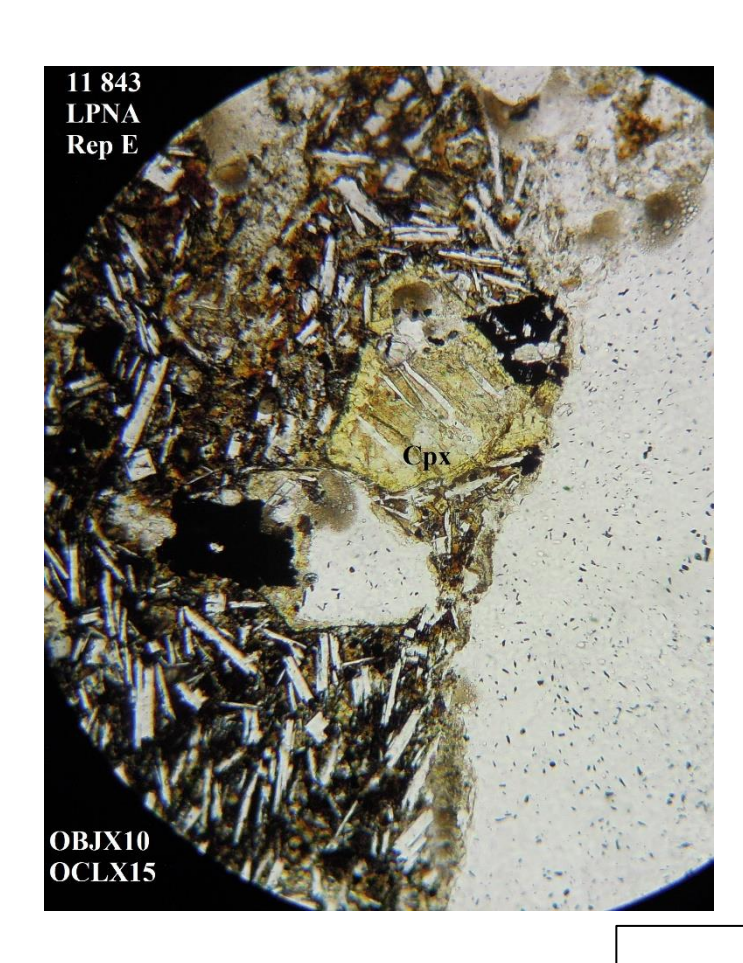


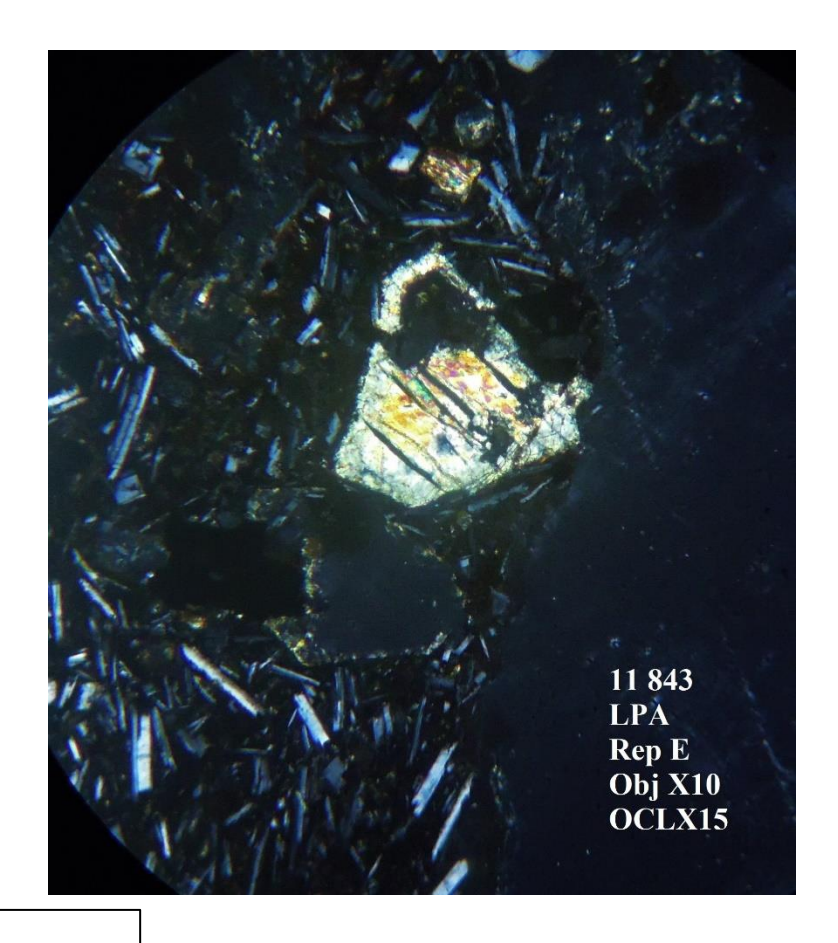


7



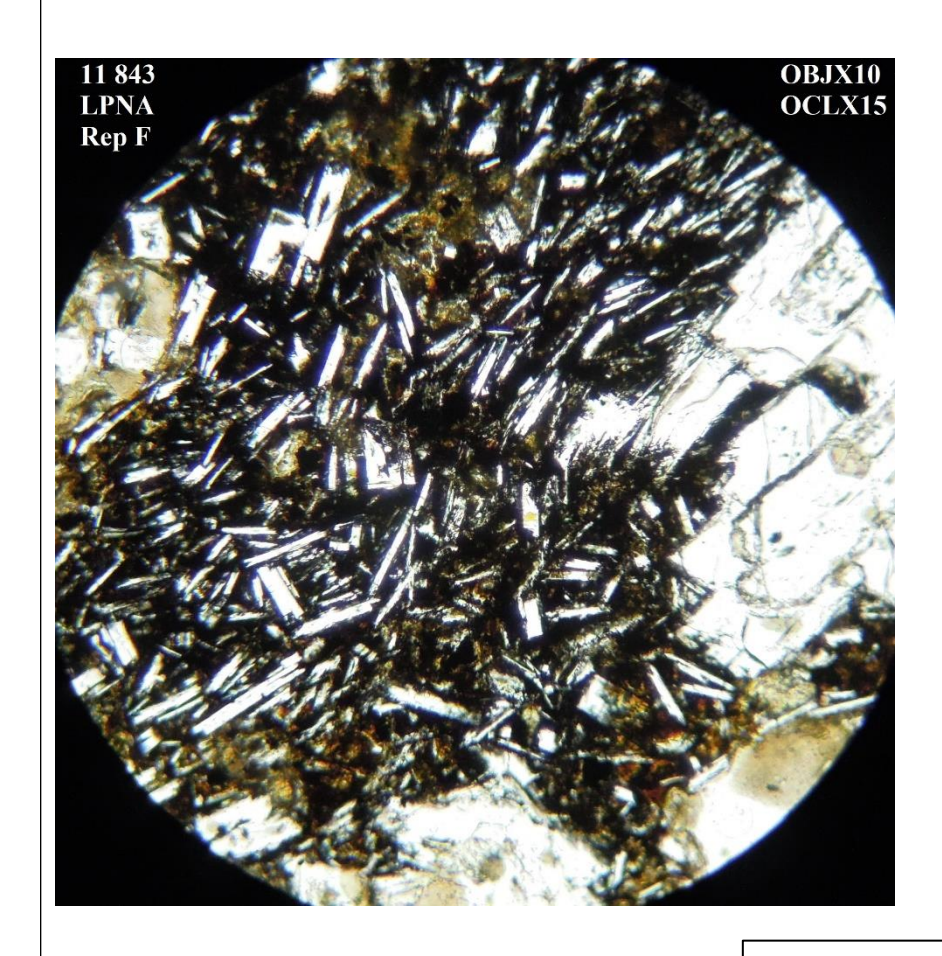
**Rep E LPNA et LPA:** deux reliques de **clinopyroxène** dans le grand fragment centimétrique de trachyandésite type **b**. Formes euhédral. Bordure et intérieur jaune or, mais pas de pléochroïsme. Teintes de Newton jusqu'au vert du second ordre.

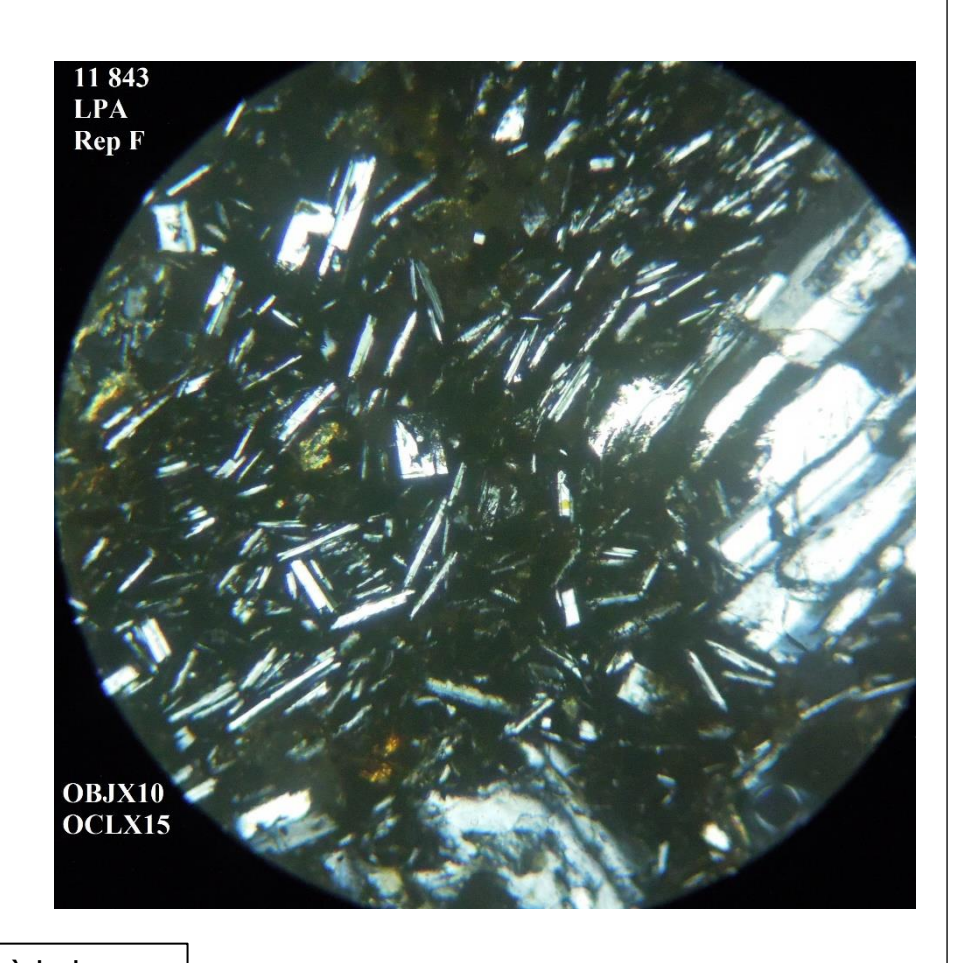






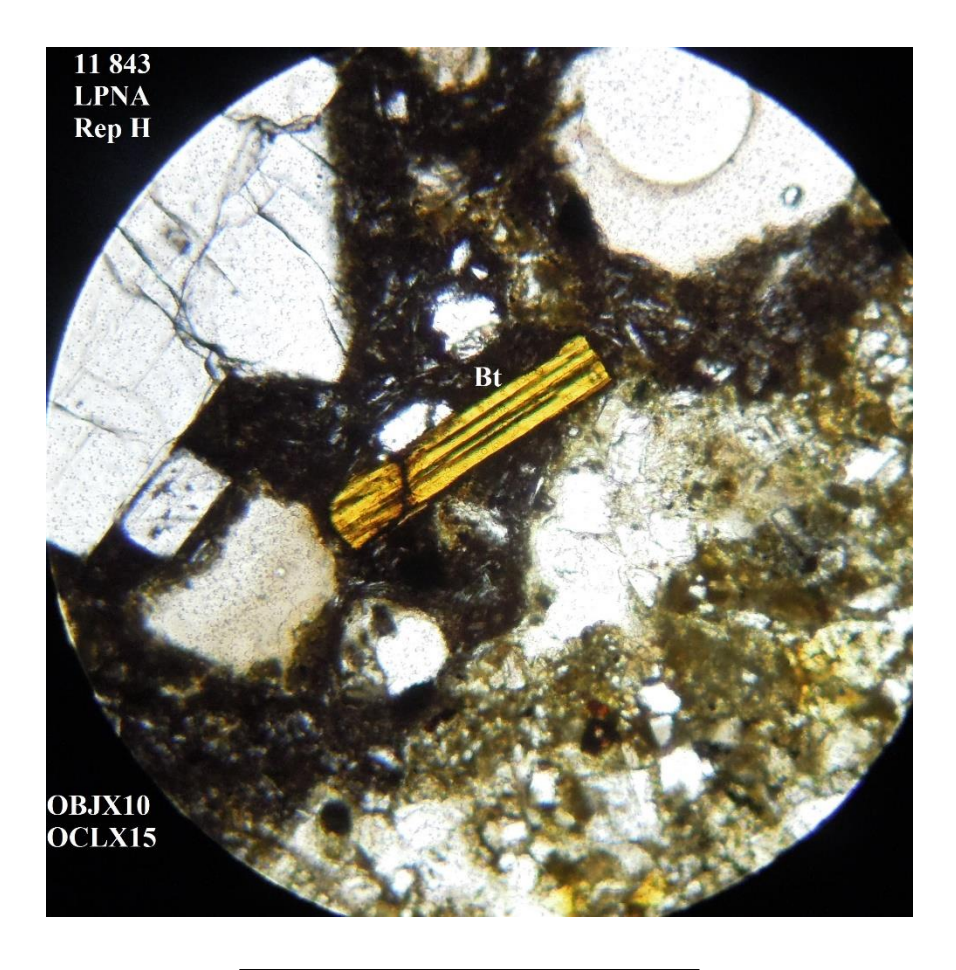
**Rep F**: mésostase dans le grand fragment centimétrique de trachyandésite, type **b**. Microlites de **plagioclase** à queue d'aronde, jusqu'à 0,2 mm de longueur, ainsi que microlites de **clinopyroxène**.





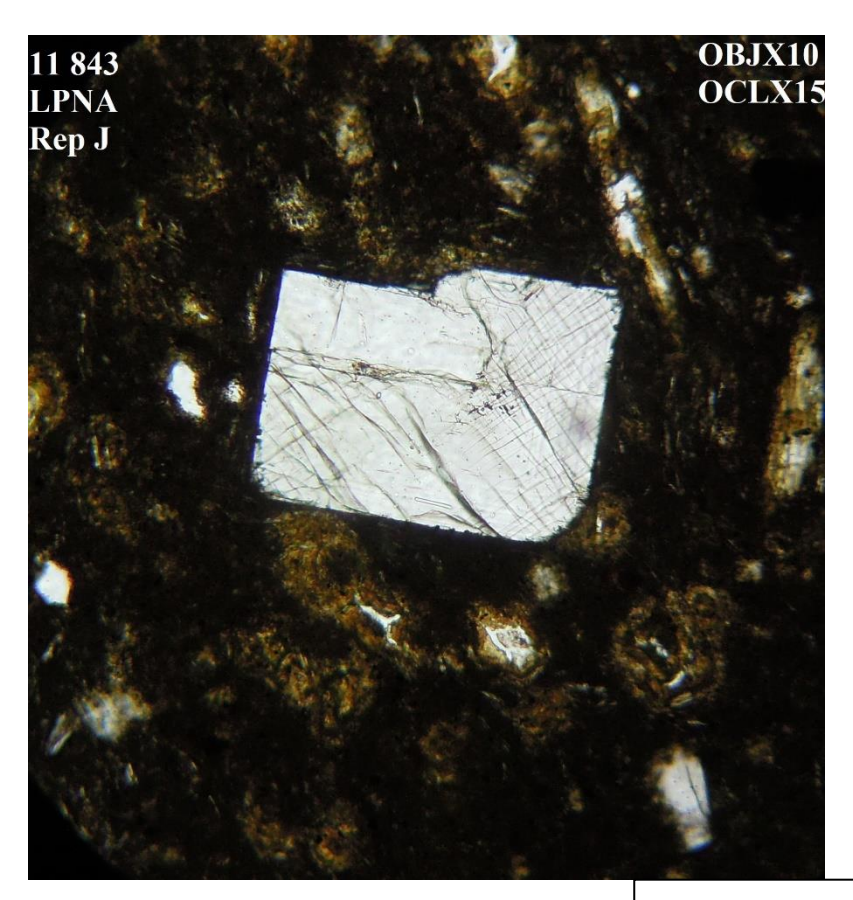


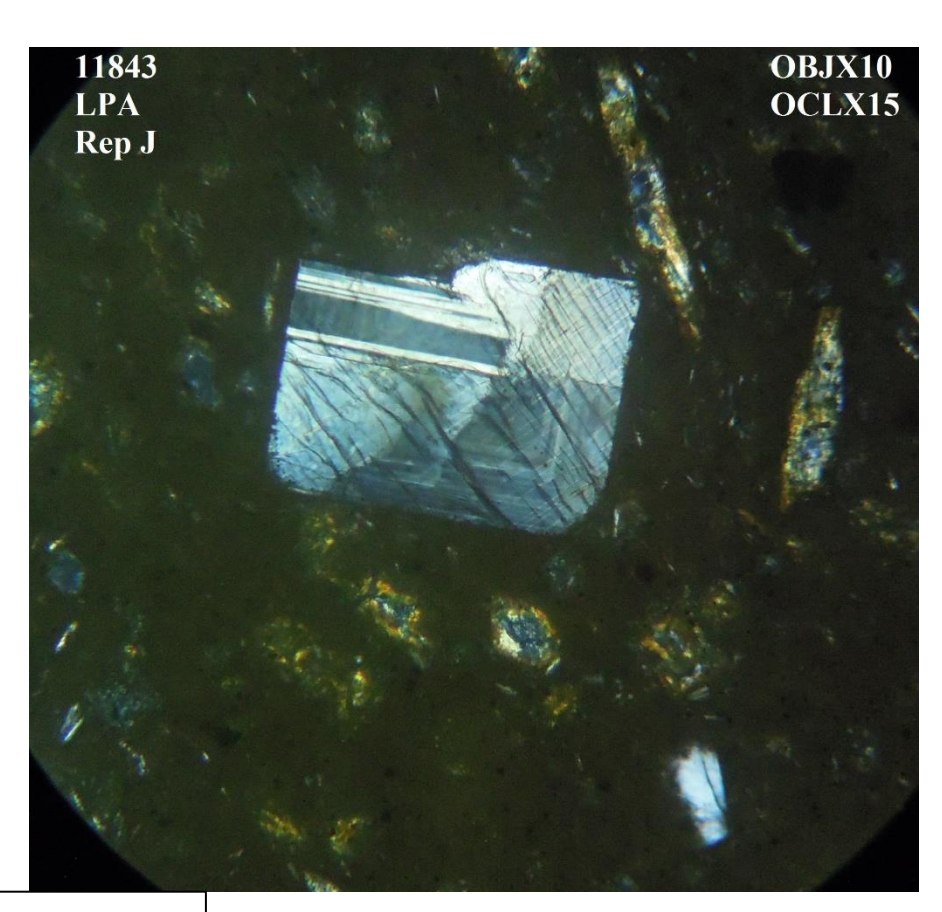
**Rep H LPNA**: dans un petit claste (mm) de trachyandésite (type b), **biotite (Bt)** euhédral en section basale de plaquette, Pléochroïsme d'orange à rouge sombre. Gros **plagioclases**.





**Rep J LPNA et LPA**: dans un grand claste centimétrique de trachyandésite (type b), grand **plagioclase** de 3 mm, euhédral zoné, multiplement maclé, à fines lignes de zonage. Réseau orthogonal de clivages bien net. Mésostase très sombre, vitreuse, où les nombreux microlites de **clinopyroxène** sont complètement altérés. Fluidalité légèrement marquée.

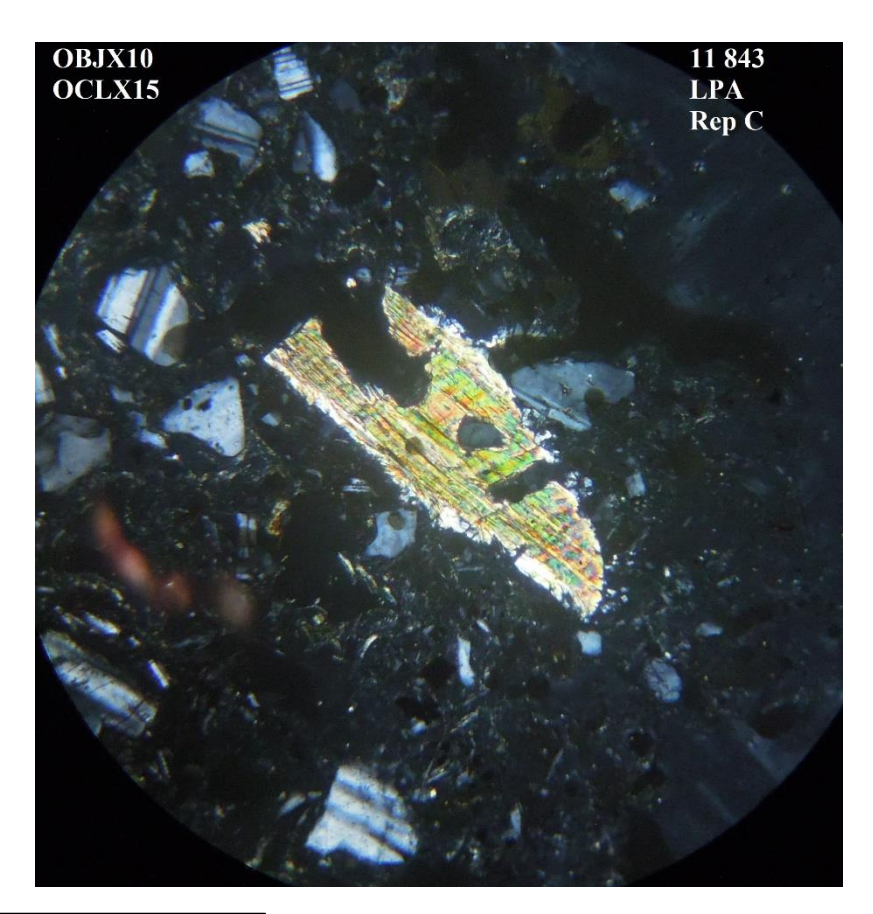






**Rep C LPNA et LPA :** fragment de **hornblende basaltique** libre dans la matrice cendreuse, pléochroïque dans le brun pâle à brun. Teinte de Newton dans le vert du second ordre. Angle d'extinction faible, de quelques degrés.







**Rep D LPNA et LPA:** lattes de **plagioclase**, libres dans la matrice cendreuse, avec altération en ilôts, par lessivage des alcalins, comme le processus commun de kaolinisation dans les **feldspaths alcalins**: les minéraux néoformés dans les ilôts sont ultramicroscopiques et la destruction/dissolution du réseau donne une texture nébuleuse et trouble, parsemée de bulles.

